

# 肌醇代谢在植物响应非生物胁迫中的作用

于点, 郭卫冷, 丁炆, 刘磊, 郭睿, 王丹, 孙玉刚, 郭长虹

(哈尔滨师范大学生命科学与技术学院/黑龙江省分子细胞遗传与遗传育种重点实验室, 哈尔滨 150000)

**摘要:** 非生物胁迫制约了植物的生长和发育, 并降低作物的产量。为了应对非生物胁迫, 植物在进化过程中形成了一系列胁迫响应机制, 包括肌醇 (MI, myo-inositol) 代谢途径。肌醇为一类化学性质稳定的极性小分子, 植物可通过积累其糖苷类衍生物参与渗透调节途径, 从而响应各种非生物胁迫。肌醇-1-磷酸合酶 (MIPS, myo-inositol-1-phosphate synthase)、肌醇单磷酸酶 (IMP, inositol monophosphate) 和肌醇加氧酶 (MIOX, myo-inositol oxygenase) 参与肌醇代谢途径。它们通过调控 MI 的含量, 参与 L-抗坏血酸 (L-AsA, L-ascorbic acid) 和部分细胞壁多糖的合成, 响应盐、干旱、碱和低温等非生物胁迫。本文综述了肌醇的结构、生物学作用、肌醇代谢途径相关酶和肌醇衍生物在植物响应非生物胁迫中的研究进展, 并对未来的研究方向进行了展望, 旨在为利用肌醇代谢增强植物对非生物胁迫的抗性, 培育抗逆植物品种提供理论基础。

**关键词:** 肌醇代谢; 非生物胁迫; 肌醇-1-磷酸合酶; 肌醇单磷酸酶; 肌醇加氧酶

## The Role of Myo-inositol Metabolism in Plants Response to Abiotic Stress

YU Dian, GUO Weileng, DING Yang, LIU Lei, GUO Rui, WANG Dan, SUN Yugang, GUO

Changhong

(College of Life Science and Technology, Harbin Normal University/ Key Laboratory of Molecular Cytogenetics and Genetic Breeding of Heilongjiang Province, Harbin 150000)

**Abstract:** Abiotic stress limits plant growth and development and causes yield losses in crops. Plants have evolved a series of stress response mechanisms to adapt to abiotic stress, including the myo-inositol (MI) metabolic pathway. MI represents a class of small polar molecules with stable chemical properties. Plants can respond to a variety of abiotic stress by participating in osmoregulatory pathways through accumulating the glycoside derivatives of MI. Myo-inositol-1-phosphate synthase (MIPS), inositol monophosphate phosphatase (IMP), and myo-inositol oxygenase (MIOX) are involved in the MI metabolic pathway. They are involved in the synthesis of L-ascorbic acid (L-AsA) and cell wall polysaccharides by regulating the content of MI, and ultimately response to abiotic stresses such as salt, drought, alkali, and low temperature. This paper reviewed the research progress of the structure, biological functions of MI, MI metabolic pathway-related enzymes and its derivatives in plants response to abiotic stresses, providing an outlook to the future research focuses. This study aims to provide a theoretical basis for enhancing plant resistance to abiotic stresses by utilizing MI metabolism and breeding stress-resistant plant varieties.

**Key words:** myo-inositol metabolism; abiotic stresses; myo-inositol-1-phosphate synthase; inositol monophosphate; myo-inositol oxygenase

植物在生长发育过程中经常受到各种非生物胁迫的损伤, 如盐、干旱、碱和低温等, 长期非生物胁迫可以引起植物形态结构变化, 影响植物体内渗透调节物质 (如  $\text{Na}^+$ 、 $\text{K}^+$ 、脯氨酸和可溶性糖等) 的含量, 降低光合

收稿日期: 修回日期: 网络出版日期:

URL:

第一作者研究方向为植物遗传学, E-mail: yudian227@163.com; 郭卫冷为共同第一作者

通信作者: 郭长虹, 研究方向为植物遗传学, E-mail: kaku3008@126.com

基金项目: 国家自然科学基金 (U21A20182, 31972507); 黑龙江省博士后基金 (LBH-Z21172); 哈尔滨师范大学研究生创新基金 (HSDSSCX2022-36)

**Foundation projects:** National Natural Science Foundation of China (U21A20182, 31972507); Postdoctoral Foundation of Heilongjiang Province (LBH-Z21172); Graduate Student Innovation Fund of Harbin Normal University (HSDSSCX2022-36)

速率,降低抗氧化酶活性,触发细胞应激反应,使植物的生长发育和生理代谢等过程受损,严重制约植物的生长和作物产量<sup>[1,2]</sup>。为了避免非生物胁迫带来的危害,植物通过渗透调节、离子和 pH 平衡、抗氧化系统等对非生物胁迫进行响应<sup>[3]</sup>。肌醇(MI, myo-inositol)是一种小分子多元醇,是合成 L-抗坏血酸(L-AsA, L-ascorbic acid)的重要前体,其代谢过程还与细胞壁组分相关物质的生物合成、提高渗透调节能力和清除活性氧等生理过程密切相关<sup>[4,5]</sup>。本文对参与肌醇代谢途径的物质和酶在植物响应非生物胁迫中作用的研究进行综述,旨在为通过调节肌醇代谢增强植物对非生物胁迫抗性提供理论基础。

## 1 肌醇的结构特点及代谢途径

### 1.1 肌醇的结构特点

肌醇,即 1,2,3,4,5,6-六羟基环己烷,分子式  $C_6H_{12}O_6$ ,分子量 180.16 g/mol,是葡萄糖的同分异构体。1850 年, Scherer 等<sup>[6]</sup>首次从牛肌肉中分离出肌醇。MI 是一种环糖醇,根据其环上羟基相对位置的变化,可异构化产生其他 8 种可能的异构体形式,分别为 鲨肌醇(scyllo-inositol)、黏质肌醇(muco-inositol)、D-手性肌醇(D-chiro-inositol)、L-手性肌醇(L-chiro-inositol)、新肌醇(neo-inositol)、异肌醇(allo-inositol)、外延肌醇(epi-inositol)和顺肌醇(cis-inositol)<sup>[7]</sup>。相比于以上其他构型的同分异构体,MI 在自然界中更常见,以游离或结合形式存在于真核生物中,调控细胞代谢活动,是脂质的重要组成部分<sup>[8]</sup>。

在植物中,肌醇及其衍生物广泛分布,包括磷脂酰肌醇(PtdIns, phosphatidyl inositol)、肌醇半乳糖苷(inositol galactoside)、肌醇磷酸盐(InsPs, inositol phosphates)等,植物利用胞质中肌醇及其衍生物的信号转导能力、调节渗透压和保护膜脂等特性作为响应环境胁迫生理机制的因子<sup>[9]</sup>。磷脂酰肌醇是细胞膜磷脂的主要成分之一,占膜磷脂的 10%~20%,通过肌醇基团位置磷酸化,产生 7 种不同的磷脂酰肌醇磷酸盐(PIPs, phosphatidylinositol phosphates),在控制细胞骨架重组、增殖代谢、信号转导和基因表达中发挥作用<sup>[10]</sup>。肌醇半乳糖苷由肌醇和 UDP-半乳糖为底物形成,为棉子糖家族寡糖的生物合成提供半乳糖基供体,促进棉子糖的积累,提高渗透调节能力<sup>[11]</sup>。肌醇磷酸盐是由肌醇磷酸化产生不同的可溶性信号分子组成,如 InsP<sub>7</sub>、InsP<sub>8</sub>等,可以作为第二信使将生物信号进一步传导<sup>[12,13]</sup>。

### 1.2 肌醇的合成代谢途径

MI 的生物合成由 Loewus 等利用放射性同位素标记实验证实,被称为 Loewus 途径,反应过程高度保守<sup>[8]</sup>。首先,在肌醇-1-磷酸合酶(MIPS, myo-inositol-1-phosphate synthase)催化下,D-葡萄糖-6-磷酸(D-Glc-6-P, D-Glucose-6-phosphate)转化为肌醇-1-磷酸(Ino-1-P, inositol-1-phosphate),随后肌醇单磷酸酶(IMP, inositol monophosphate)催化 Ino-1-P 进行脱磷酸,生成游离的 MI(图 1),其中 MIPS 被认为是这一途径的限速酶<sup>[14]</sup>。在真核生物中,MIPS 具有高度保守的特性,目前已从多个物种中获得了 MIPS<sup>[15]</sup>,如拟南芥<sup>[16]</sup>、大豆<sup>[17]</sup>、水稻<sup>[18,19]</sup>、猕猴桃<sup>[20]</sup>、杨树<sup>[21]</sup>、棉花<sup>[22]</sup>等。IMP 已在大鼠<sup>[23]</sup>、牛<sup>[24]</sup>和人类大脑<sup>[25]</sup>等动物中被纯化并

报道, 在拟南芥<sup>[26]</sup>、水稻<sup>[27]</sup>等植物中有部分报道, 其他物种中 *IMP* 相关研究尚少。

### 1.3 肌醇的分解代谢途径

肌醇通过肌醇加氧酶 (MIOX, myo-inositol oxygenase) 氧化裂解转化为游离的 D-葡萄糖醛酸 (D-GlcA, D-glucuronic acid), 随后生成不同的代谢物参与植物细胞壁合成和 L-AsA 合成。D-GlcA 通过葡萄糖醛酸激酶 (GlcAK, glucuronokinase) 被激活为 UDP-葡萄糖醛酸 (UDP-GlcA, UDP-glucuronic acid)。UDP-GlcA 在复杂的核苷酸糖相互转化途径中, 能够生成 UDP-D-半乳糖 (UDP-D-GalA, UDP-D-galacturonate) 或 UDP-D-芹菜糖 (UDP-D-Api, UDP-D-apiose), 二者均为果胶的重要前体聚合物<sup>[28]</sup>, UDP-GlcA 也可经过脱羧反应生成 UDP-D-木糖 (UDP-D-Xyl, UDP-D-xylose), 再由 UDP-阿拉伯糖 (UDP-arabinose) 向外异构化 (图 1)<sup>[29]</sup>。UDP-D-Xyl 能够在细胞质中合成, 然后被运输到高尔基体, 参与组成植物木聚糖合成<sup>[30]</sup>。UDP-D-GalA、UDP-D-Api 和 UDP-D-Xyl 均为细胞壁合成物质的前体, 形成的胶质和半纤维素等聚合物与其单糖约占细胞壁 50% 的生物量<sup>[29]</sup>。在合成抗坏血酸途径中, D-GlcA 转化为 L-古洛糖-1,4-内酯 (L-gulose-1, 4-lactone), 随后被氧化为 L-AsA (图 1)<sup>[31, 32]</sup>。MIOX 是肌醇分解代谢途径的关键酶, Charalampous 等<sup>[33]</sup>于 1957 年首次在鼠肾脏组织中提取出肌醇加氧酶, 引起人们强烈关注。随着研究不断深入, 目前在拟南芥<sup>[34]</sup>、水稻<sup>[35]</sup>、大豆<sup>[36]</sup>、番茄<sup>[37]</sup>、小麦<sup>[38]</sup>、苹果<sup>[39]</sup>、棉花<sup>[40]</sup>和紫花苜蓿<sup>[41]</sup>等多种植物中分离到 *MIOX* 基因。

## 2 肌醇的生物学作用

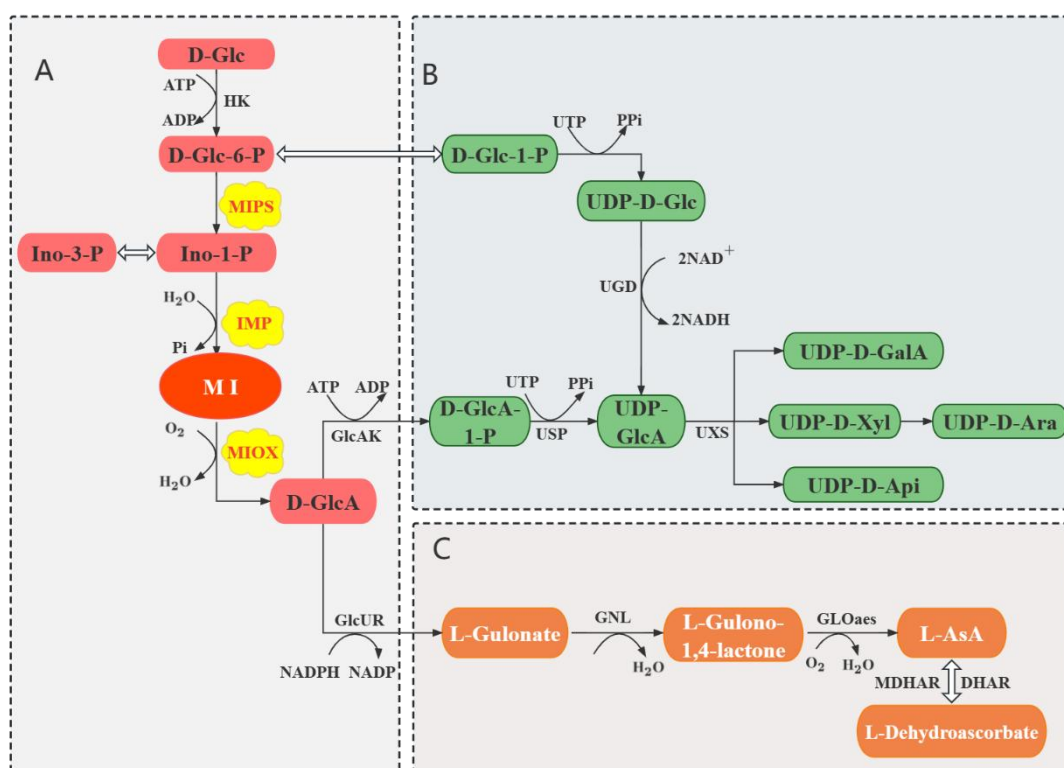
### 2.1 肌醇与 L-抗坏血酸

L-抗坏血酸又叫维生素 C (Vc, vitamin C), 是自然界中一种常见的抗氧化剂。L-AsA 通过调节光合作用中的氧化还原状态和环境诱导的氧化胁迫, 减少植物的氧化应激<sup>[42]</sup>。其参与的抗坏血酸-谷胱甘肽 (AsA-GSH) 循环是去除活性氧 (ROS, reactive oxygen species) 的一个有效的抗氧化系统, 是清除过氧化氢 (H<sub>2</sub>O<sub>2</sub>, hydrogen peroxide) 的主要代谢途径<sup>[43]</sup>。提高 L-AsA 含量可能是增强作物的生物量、非生物胁迫耐受性和植物修复能力的有效策略<sup>[44]</sup>。肌醇代谢途径相关酶可以通过调控肌醇的合成与分解从而影响植物合成 L-AsA (图 1)。Zhang 等<sup>[21]</sup>人在杨树 (*Populus euphratica* Oliv.) 中过表达 *PeMIPSI* 的 L-AsA 总含量高于 WT, GSH/GSSH 比值也优于 WT, 证明过表达 *PeMIPSI* 会导致 L-AsA 的积累。Lorence 等人<sup>[45]</sup>首次从拟南芥中克隆获得 *AtMIOX4*, 发现过表达 *AtMIOX4* 的拟南芥叶片中 L-AsA 含量增加了 2-3 倍。同样地, Lisko 等<sup>[44]</sup>研究发现, 过表达 *AtMIOX4* 拟南芥叶片的 L-AsA 含量较 WT 高约 1.5 倍, 表明 MI 与 L-AsA 的合成可能存在直接关系。

### 2.2 肌醇与细胞壁

植物细胞壁是由纤维素、半纤维素、果胶和少量结构蛋白等构成的网状结构, 与植物生长发育密切相关, 维持细胞的基本形态, 为植株提供机械支撑, 是植物细胞区别于动物细胞的基本特征之一<sup>[46]</sup>。此外,

细胞壁还在营养物质转运、抵御外界环境胁迫等方面发挥广泛的作用<sup>[47, 48]</sup>。肌醇通过分解可转化为 UDP-GlcA, UDP-GlcA 作为合成核苷酸糖的主要前体, 形成植物细胞壁的半纤维素和果胶聚合物 (图 1)。Loewus 等<sup>[49]</sup>通过在离体的成熟草莓 (*Fragaria*) 和欧芹 (*Petroselinum*) 叶中注入带 2-<sup>3</sup>H 或 2-<sup>14</sup>C 标记的肌醇, 发现有 56% 的放射性标记进入到细胞壁多糖中, 首次证明了肌醇与细胞壁多糖有着紧密的代谢关联。Kanter 等<sup>[29]</sup>用 <sup>3</sup>H 标记肌醇后, 发现 <sup>3</sup>H-肌醇出现在细胞壁聚合物中, 细胞壁水解后的产物分离显示糖醛酸、阿拉伯糖和木糖具有放射性, 并且两种 *MIOX* 敲除拟南芥均显示 <sup>3</sup>H-肌醇掺入细胞壁的量显著减少, 表明 *MIOX1* 和 *MIOX2* 在该通路中发挥功能, 证明了 *MIOX* 为细胞壁聚合物提供糖类方面的作用。这些研究为植物中参与细胞壁多糖生物合成的功能性肌醇氧化途径提供了强有力的证据。



A: 肌醇的合成分解途径; B: 肌醇参与细胞壁合成途径; C: 肌醇参与 L-抗坏血酸合成途径

A: Inositol synthesis and decomposition pathway; B: Inositol is involved in cell wall synthesis pathway; C: Inositol is involved in L-ascorbic acid synthesis pathway

图 1 肌醇的代谢途径

Fig. 1 Metabolic pathway of inositol

### 3 植物肌醇代谢对非生物胁迫的响应

目前, 植物肌醇代谢相关基因在多种非生物胁迫中的作用已经取得了一定的研究进展, 如盐、碱、干旱和极端温度等 (表 1)。

表 1 植物肌醇代谢相关基因对非生物胁迫的响应

Table 1 Responses of inositol metabolism-related genes to abiotic stress in plant

基因名称 Gene name	胁迫类型 Stress type	表达模式 Expression pattern	转入植物 Transferred plant	参考文献 Reference
<i>PeMIPS</i>	盐	上调	杨树	[21]
<i>SjMIPS</i>	盐	上调	-	[50]
<i>MdMIPS1</i>	盐、干旱	上调	拟南芥、苹果	[51,52]
<i>AdMIPS</i>	盐、干旱	上调	-	[20]
<i>MfMIPS1</i>	盐、干旱、低温	上调	烟草	[53]
<i>CaMIPS2</i>	盐、高温	上调	鹰嘴豆	[54]
<i>TaMIPS-D</i>	低温、高温	上调	水稻	[55]
<i>GhMIOX09</i>	盐	上调	-	[40]
<i>MhMIOX2</i>	盐	上调	杨树、拟南芥	[39]
<i>AtMIOX4</i>	盐、干旱、低温、高温	上调	拟南芥	[44, 45, 56]
<i>MsMIOX</i>	盐、盐碱、干旱、寒冷	上调	紫花苜蓿	[41]
<i>GsMIOX1a</i>	碱	上调	棉花	[36]
<i>GhMIOX04</i>	干旱	上调	-	[40]
<i>OsMIOX</i>	干旱	上调	水稻	[35, 57]
<i>TaMIOX</i>	干旱、低温、高温	上调	拟南芥	[38]
<i>GhMIOX03</i>	低温	上调	-	[40]
<i>SIMIOX</i>	氧化胁迫、失水	上调	番茄	[37]
<i>OsIMP</i>	低温	上调	烟草	[27]

第四列中“-”表示该基因未进行转基因实验

In the fourth column, "-" indicates that the gene has not been genetically modified

### 3.1 盐胁迫

盐胁迫会阻碍种子萌发、生长发育、开花和结果，对植物产生不利影响<sup>[21, 58]</sup>。盐渍土壤中  $\text{Na}^+$  的高浓度限制了植物对水分和养分的吸收，引起渗透胁迫和离子胁迫，进而导致氧化应激，引起一系列的次级应激<sup>[59]</sup>。而且盐胁迫影响光捕获复合物的形成，抑制细胞分裂，导致植物生理及分子变化<sup>[60]</sup>。Cui 等<sup>[20]</sup>克隆并鉴定了猕猴桃 (*Actinidia Deliciosa* cv. Qin Mei) *MIPS* 基因，通过盐胁迫下不同组织中的基因表达分析，发现盐胁迫能够不同程度地诱导猕猴桃叶片、韧皮部和根 *AdMIPS* 的转录和肌醇-1-磷酸合酶活性，在盐胁迫处理 5 d 和 10 d *AdMIPS* 表达量分别是对照组的 1.5 倍和 3.5 倍，表明 *AdMIPS* 受到盐胁迫的调节。肌醇代谢相关酶可在植物中增加如 SOD、CAT 和 POD 等抗氧化酶活性，降低有害物质含量以及积累可溶性糖缓解渗透胁迫来抵抗盐胁迫带来的损害。如在杨树 (*Populus euphratica* Oliv.) 中过表达 *PeMIPS1*<sup>[21]</sup>，在杨树 (*Malus hupehensis* Rehd.)<sup>[39]</sup>和拟南芥<sup>[39]</sup>中过表达 *MhMIOX2*，与野生型相比，转基因 *PeMIPS1* 杨树、转基因 *MhMIOX2* 杨树和转基因 *MhMIOX2* 拟南芥在盐胁迫 ROS 清除酶活性以及  $\text{H}_2\text{O}_2$  和 MDA 含量则分别较野生型植株增加和降低。Tan 等<sup>[53]</sup>人从黄花苜蓿 (*Medicago falcata* L.) 中克隆出 *MfMIPS1* 并在烟草中过表达，发现盐胁迫下 *MIPS* 的活性升高，并且肌醇产量增加，从而使作为 ROS 清除剂的半乳糖醇和棉子糖的水平有所增高抵抗盐胁迫。苹果 (*Malus domestica* Borkh.) 中 *MdMIPS1*<sup>[51]</sup>可以增加盐胁迫下转 *MdMIPS1* 拟南芥的根长及鲜重，转 *MdMIPS1* 苹果中积累可溶性糖缓解渗透胁迫，降低  $\text{H}_2\text{O}_2$  和 MDA 含量，增强 SOD、POD 和抗  $\text{O}^2$  活性，并且在胁迫下内质网应激相关基因 (*Bip1*、*Bip2* 和 *Bip3* 等) 和植物盐过度敏感途径 (SOS) 相关基因 (*SOS1*、*SOS2*、*SOS3* 和 *NHX1*) 在转 *MdMIPS1* 苹果中上调，说明 *MdMIPS1* 可通过改善盐胁迫下氧化系统来降低氧化胁迫和内质网应激，以及维持胁迫下离子稳态。笔者所在课题组通过基因家族分析和实时荧光定量 PCR 分析表明，在盐胁迫下，紫花苜蓿 (*Medicago sativa* L.) *MIOX* 基因家族亚族 I 的 *MsMIOX01*-*MsMIOX06* 表达上调，*MIOX* 的酶活性在盐胁迫下提高，为 *MIOX* 基因在响应盐胁迫中的作用提供了理论依据<sup>[41]</sup>。肌醇衍生物也会参与对盐胁迫的响应，在盐胁迫下的磷脂酰肌醇-5-磷酸酶基因突变体拟南芥相比于 WT 叶片明显发白，具有更高的盐敏感性，进一步研究发现 *at5ptase9* 内吞作用减弱，根中 ROS 含量和  $\text{Ca}^{2+}$  内流减少，盐诱导标记基因 *RD29A* 具有较高的表达，表明膜结合的 PtdIns 通过协调内吞作用、ROS 产生、 $\text{Ca}^{2+}$  内流和应激反应基因的诱导，调节拟南芥耐盐性<sup>[61]</sup>。

### 3.2 干旱胁迫

植物在生长发育的过程中，干旱胁迫会造成渗透胁迫，影响植物吸收水分和矿质营养，导致细胞脱水，改变植物的生理生化平衡<sup>[62]</sup>。干旱胁迫的加剧也会致使植物 ROS 过量积累，导致蛋白质、膜脂和其他大分子氧化损伤，植物生长受到抑制<sup>[43]</sup>。Hu 等<sup>[52]</sup>发现，在干旱胁迫条件下，过表达 *MdMIPS1* 苹果的电导率和 MDA 含量均显著低于野生型植株，而 SOD 和 POD 活性则显著提高。*MdMIPS1* 增强了胁迫下转基因苹果的肌醇合成、可

溶性糖和脯氨酸的合成并增加了气孔孔径。说明 *MdMIPS1* 通过增加苹果抗氧化防御系统的活性、改善渗透调节和光合作用，由此增强了植株的耐旱性。Alok 等<sup>[38]</sup>发现带 *TaMIOX* 启动子的转基因拟南芥经干旱处理 12 h 和 24 h 后，*TaMIOX::Uida* 表达量比 WT 拟南芥高出 3 倍和 5 倍，表明 *TaMIOX* 启动子能够受干旱胁迫诱导。Li 等<sup>[40]</sup>分析经干旱处理后草棉 (*Gossypium herbaceum* L.) 和海岛棉 (*Gossypium barbadense* L.) 中 *MIOX* 的表达，发现 *GbMIOX02* 和 *GbMIOX08* 基因表达量较高，*GhMIOX04* 基因表达量在 24 h 达到峰值。还有研究表明过表达 *OsMIOX* 的水稻 (*Oryza sativa* L.) 可以增加脯氨酸的合成，加强 ROS 清除和减少氧化损伤，从而提高水稻干旱胁迫耐受性<sup>[35]</sup>。我们在紫花苜蓿毛状根中过表达 *MsMIOX2*，发现在干旱胁迫下过表达 *MsMIOX2* 紫花苜蓿的毛状根长度明显长于野生型对照，而毛状根中的  $O_2^-$  和  $H_2O_2$  含量则显著低于对照<sup>[41]</sup>。Perera 等<sup>[63]</sup>人制备缺失肌醇磷酸盐-5-磷酸酶的拟南芥，发现离体叶片失水率降低 30%，干旱诱导的转录因子 *DREB2A* 和 *DREB2A* 调控基因的表达水平增加了两倍以上，肌醇磷酸盐-5-磷酸酶能够特异性溶解  $InsP_3$  并终止信号，因此表明  $InsP_3$  在 *DREB2A* 干旱信号通路中起着负调控因子的作用。

### 3.3 碱性胁迫

碱性胁迫是制约植物生长发育、影响作物生产力的非生物胁迫之一<sup>[64]</sup>。碱性胁迫会形成高 pH 胁迫，主要形成离子危害、渗透胁迫和氧化胁迫，活性氧积累从而影响植物根系对矿质元素的吸收，阻碍植物的各种生理代谢活动，抑制植物正常生长<sup>[65]</sup>。在碱胁迫下，大豆 (*Glycine soja* Sieb. et Zucc.) *MIOX1a* 的表达水平升高，并在 6 h 时达到最高水平。过表达 *GsMIOX1a* 拟南芥在碱胁迫下，其脯氨酸水平升高，POD 活性增加，*atmiox1* 突变体拟南芥的游离脯氨酸水平降低，POD 活性低于 WT，并且过表达 *GsMIOX1a* 拟南芥中碱胁迫应答和诱导标记基因 *H<sup>+</sup>-Ppase*、*NADP-ME*、*KIN1* 和 *RD29B* 的表达水平也上调，这表明 *GsMIOX1a* 在拟南芥中能够正向调控碱胁迫<sup>[36]</sup>。我们发现，紫花苜蓿所有 *MsMIOX* 基因在盐碱胁迫 12 h 时均显著上调表达，*MIOX* 的酶活性显著提高，*MsMIOX2* 蛋白可以提高酵母和紫花苜蓿毛状根的耐盐碱能力<sup>[41]</sup>。

### 3.4 低温胁迫

低温胁迫会抑制植物的生长和发育，破坏细胞膜，甚至导致细胞死亡<sup>[66]</sup>。在低温胁迫下，黄花苜蓿 *MjMIPS1* 的表达量在 4 h 开始升高，在 24 h 达到最高水平，紫花苜蓿 *MsMIPS* 在 8 h 被诱导并保持，同时，黄花苜蓿和紫花苜蓿的肌醇浓度均逐渐升高，说明肌醇的合成在黄花苜蓿和紫花苜蓿响应寒冷胁迫中发挥重要作用<sup>[53]</sup>。Zhang 等<sup>[27]</sup>发现在低温胁迫下，过表达水稻 *OsIMP* 的转基因烟草比野生型更耐寒，在 48 h 的 2℃ 处理后几乎没有受到损伤。转基因烟草 SOD、CAT 和 POD 活性以及 MI 的含量较野生型显著增加，具有较低水平的  $H_2O_2$ 、MDA 含量。Alok 等<sup>[38]</sup>人发现人发现，小麦 (*Triticum aestivum* L.) 中 *MIOX* 基因启动子区域存在寒冷响应顺式元件，*TaMIOX::Uida* 拟南芥在低温胁迫处理下表现出显著的 GUS 活性，12 h 和 24 h 后的低温处理下 *TaMIOX::Uida* 表达量分别是 WT 的 3 倍和 7 倍，认为 *TaMIOX* 可以作为探究小麦响应低温胁迫的潜在候选基因。我们发现，紫花苜蓿在冷胁迫下 *MIOX* 活性显著增加，转染 pYES2-*MsMIOX2*

的酵母细胞在低温胁迫下活力更强，证明 *MsMIOX2* 能够响应低温胁迫<sup>[41]</sup>。He 等<sup>[67]</sup>人在马铃薯 (*Solanum tuberosum* L.) 中过表达肌醇半乳糖苷合酶 *ScGolS1*，低温胁迫下转基因马铃薯的电导率和 MDA 含量均低于野生型，*ScGolS1* 诱导冷胁迫下 RFO 代谢通路相关基因 *MIPS*、*STS*、*RS* 的表达上调，并影响糖代谢中可溶性碳水化合物成分的平衡，提高了转基因马铃薯植株的耐冻性。肌醇半乳糖苷合酶是分解肌醇半乳糖苷的第一步，继而合成棉子糖家族寡糖，从而也证明肌醇衍生物参与植物响应低温胁迫。

## 4 展望

近年来，关于植物肌醇代谢相关基因响应盐、碱、干旱及低温等非生物胁迫的作用已取得一定的进展。然而关于 *MIPS* 和 *MIOX* 这两个酶的相关研究报道较多，*IMP* 作为肌醇合成途径的酶，*IMP* 基因在响应非生物胁迫方面功能还没有被深入研究。另外，肌醇代谢相关基因的研究大多是在拟南芥、水稻、烟草等模式植物中开展的，尽管在苹果、杨树、小麦等植物也取得了可喜的进展，包括笔者所在课题组发现紫花苜蓿的 10 个 *MsMIOX* 基因在盐、干旱、盐碱、和低温胁迫条件均有不同程度的响应，*MsMIOX2* 蛋白可提高酵母细胞和苜蓿毛状根的非生物胁迫耐受性，但是在其他重要作物如大豆、玉米等的 *MIPS*、*MIOX*，*IMP* 等肌醇代谢相关基因在响应非生物胁迫中的功能还有待进一步研究。

肌醇途径是植物 L-AsA 合成途径之一，肌醇途径能够有效提高植物体内 L-AsA 的合成效率。但部分研究者持有不同态度，认为植物中积累的 D-葡萄糖醛酸作为肌醇代谢产物对 L-AsA 的合成只起到微弱的作用，植物或许通过其他途径进行主要的 L-AsA 合成<sup>[68, 69]</sup>。作为一种非酶抗氧化剂，L-抗坏血酸能与还原谷胱甘肽协同作用，防止脂质膜过氧化物和光合功能丧失，是对过氧化氢过度积累的一道强有力的防线。因此探究肌醇代谢相关酶参与植物合成 L-AsA 的途径对于植物抵抗非生物胁迫具有重要意义，这仍是需要继续探讨的一个问题。

在各种非生物胁迫下，肌醇通过渗透调节途径调控植物的生理响应研究较多，但其中的具体调控机制仍不完善。肌醇代谢相关基因的应激响应依赖于上游信号的调控，今后可重点从 *MIPS*、*IMP* 和 *MIOX* 由哪些上游基因调控，并且如何启动信号传导发挥作用，是否与其他蛋白互作以及如何调控植物各种多糖参与渗透调节等方面进一步深入探究和完善。全面解析肌醇分子调控机制，明确肌醇代谢相关基因响应非生物胁迫的机理，可为后续解析植物抗逆的生物学功能提供理论基础，为作物遗传改良提供新的思路。



## 参考文献

- [1] Zhou X, Xiang Y, Li C, Yu G. Modulatory role of reactive oxygen species in root development in model plant of *Arabidopsis thaliana*. *Frontiers in Plant Science*, 2020, 11(9): 485932
- [2] 赵晶晶, 周浓, 曹鸣宇. 非生物胁迫下植物体内丙酮醛代谢的研究进展. *中国农业科学*, 2021, 54(8): 11  
Zhao J J, Zhou N, CAO M Y. Research progress of pyruvaldehyde metabolism in plants under abiotic stress. *Scientia Agricultura Sinica*, 2021, 54(8): 11
- [3] Gupta A, Rico-Medina A, Caño-Delgado A I. The physiology of plant responses to drought. *Science*, 2020, 368(6488): 266-269
- [4] Zheng S, Wei P, Huang L, Cai J, Xu Z. Efficient expression of myo-inositol oxygenase in *Escherichia coli* and application for conversion of myo-inositol to glucuronic acid. *Food Science and Biotechnology*, 2014, 23(2): 445-450
- [5] Vilchez J I, Yang Y, He D, Zi H, Peng L, Lv S, Kaushal R, Wang W, Huang W, Liu R, Lang Z, Miki D, Tang K, Pare P W, Song C P, Zhu J K, Zhang H. DNA demethylases are required for myo-inositol-mediated mutualism between plants and beneficial rhizobacteria. *Nature Plants*, 2020, 6(8): 983-995
- [6] Loewus F A, Loewus M W. Myo-inositol: its biosynthesis and metabolism. *Annual Review of Plant Physiology*, 1983, 34(1): 137-161
- [7] Thomas M P, Mills S J, Potter B V. The "other" inositols and their phosphates: synthesis, biology, and medicine (with recent advances in myo-Inositol chemistry). *Angewandte Chemie International Edition*, 2016, 55(5): 1614-1650
- [8] Al-Suod H, Ligor M, Rațiu I-A, Rafińska K, Górecki R, Buszewski B. A window on cyclitols: characterization and analytics of inositols. *Phytochemistry Letters*, 2017, 20(12): 507-519
- [9] Michell R H. Inositol derivatives: evolution and functions. *Nature Reviews Molecular Cell Biology*, 2008, 9(2): 151-161
- [10] 陈红, 胡曼东, 陈芳艳, 赵静雅, 李定辰, 韩黎. 磷脂酰肌醇磷酸酶 Sac1 功能研究进展. *中国细胞生物学学报*, 2022, 44(06): 1195-1201  
Chen H, Hu M D, Chen F Y, Zhao J Y, LI D C, Han L. Research progress on the function of phosphatidyl inositol phosphatase Sac1. *Chinese Journal of Cell Biology*, 2022, 44(06): 1195-1201
- [11] 徐功勋, 聂佩显, 周佳, 吕德国, 秦嗣军. 苹果肌醇半乳糖苷合酶基因家族鉴定与表达分析. *植物生理学报*, 2022, 58(12): 2321-2332  
Xu G X, Nie P X, Zhou J, Lu D G, Qin S J. Identification and expression analysis of apple inositol galactoside synthase gene family. *Chinese Plant Physiology Journal*, 2022, 58(12): 2321-2332
- [12] Ibrahim S, Saleem B, Rehman N, Zafar S A, Naeem M K, Khan M R. CRISPR/Cas9 mediated disruption of *Inositol Pentakisphosphate 2-Kinase 1 (TaIPK1)* reduces phytic acid and improves iron and zinc accumulation in wheat grains. *Journal of Advanced Research*, 2022, 37(07): 33-41
- [13] Li Y, Han P, Wang J, Shi T, You C. Production of myo-inositol: recent advance and prospective. *Biotechnology and Applied Biochemistry*, 2022, 69(3): 1101-1111
- [14] Hazra A, Dasgupta N, Sengupta C, Das S. MIPS: functional dynamics in evolutionary pathways of plant kingdom. *Genomics*, 2019, 111(6): 1929-1945
- [15] Chhetri D R, Yonzon S, Tamang S, Mukherjee A K. L-myo-Inositol-1-phosphate synthase from bryophytes: purification and characterization of the enzyme from *Lunularia cruciata* (L.) Dum. *Brazilian Journal of Plant Physiology*, 2009, 21(3): 243-250
- [16] Johnson M D, Sussex I M. 1 L-myo-inositol 1-phosphate synthase from *Arabidopsis thaliana*. *Plant Physiology*, 1995, 107(2): 613-619
- [17] Hegeman C E, Grabau E A. A novel phytase with sequence similarity to purple acid phosphatases is expressed in cotyledons of germinating soybean seedlings. *Plant Physiology*, 2001, 126(4): 1598-1608
- [18] Basak P, Sangma S, Mukherjee A, Agarwal T, Sengupta S, Ray S, Majumder A L. Functional characterization of two *myo-inositol-1-phosphate synthase (MIPS)* gene promoters from the halophytic wild rice (*Porteresia coarctata*). *Planta*, 2018, 248(5): 1121-1141

- [19] Ray S, Patra B, Das-Chatterjee A, Ganguli A, Majumder A L. Identification and organization of chloroplastic and cytosolic L-myo-inositol 1-phosphate synthase coding gene (s) in *Oryza sativa*: comparison with the wild halophytic rice, *Porteresia coarctata*. *Planta*, 2010, 231(5): 1211-1227
- [20] Cui M, Liang D, Ma F. Molecular cloning and characterization of a cDNA encoding kiwifruit L-myo-inositol-1-phosphate synthase, a key gene of inositol formation. *Molecular Biology Reports*, 2013, 40(1): 697-705
- [21] Zhang J, Yang N, Li Y, Zhu S, Zhang S, Sun Y, Zhang H X, Wang L, Su H. Overexpression of *PeMIPSI* confers tolerance to salt and copper stresses by scavenging reactive oxygen species in transgenic poplar. *Tree Physiology*, 2018, 38(10): 1566-1577
- [22] Ma R, Song W, Wang F, Cao A, Xie S, Chen X, Jin X, Li H. A cotton (*Gossypium hirsutum*) myo-inositol-1-phosphate synthase (*GhMIPSID*) gene promotes root cell elongation in *Arabidopsis*. *International Journal of Molecular Sciences*, 2019, 20(5): 1224
- [23] Takimoto K, Okada M, Matsuda Y, Nakagawa H. Purification and properties of myo-inositol-1-phosphatase from rat brain. *The Journal of Biochemistry*, 1985, 98(2): 363-370
- [24] Diehl R E, Whiting P, Potter J, Gee N, Ragan C I, Linemeyer D, Schoepfer R, Bennett C, Dixon R A. Cloning and expression of bovine brain inositol monophosphatase. *Journal of Biological Chemistry*, 1990, 265(11): 5946-5949
- [25] McAllister G, Whiting P, Hammond E A, Knowles M R, Atack J R, Bailey F J, Margetter R, Ragan C I. cDNA cloning of human and rat brain myo-inositol monophosphatase. Expression and characterization of the human recombinant enzyme. *Biochemical Journal*, 1992, 284 (Pt 3)(3): 749-754
- [26] Nourbakhsh A, Collakova E, Gillaspay G E. Characterization of the inositol monophosphatase gene family in *Arabidopsis*. *Frontiers in Plant Science*, 2015, 5(1): 725-738
- [27] Zhang R X, Qin L J, Zhao D G. Overexpression of the *OsIMP* gene increases the accumulation of inositol and confers enhanced cold tolerance in tobacco through modulation of the antioxidant enzymes' activities. *Genes*, 2017, 8(7): 179-194
- [28] Savino S, Borg A J E, Dennig A, Pfeiffer M, de Giorgi F, Weber H, Dubey K D, Rovira C, Mattevi A, Nidetzky B. Deciphering the enzymatic mechanism of sugar ring contraction in UDP-apiose biosynthesis. *Nature Catalysis*, 2019, 2(12): 1115-1123
- [29] Kanter U, Usadel B, Guerineau F, Li Y, Pauly M, Tenhaken R. The inositol oxygenase gene family of *Arabidopsis* is involved in the biosynthesis of nucleotide sugar precursors for cell-wall matrix polysaccharides. *Planta*, 2005, 221(2): 243-254
- [30] Zhong R, Teng Q, Haghghat M, Yuan Y, Furey S T, Dasher R L, Ye Z H. Cytosol-localized UDP-xylose synthases provide the major source of UDP-xylose for the biosynthesis of xylan and xyloglucan. *Plant Cell Physiol*, 2017, 58(1): 156-174
- [31] Radzio J A, Lorence A, Chevone B I, Nessler C L. L-Gulonolactone oxidase expression rescues vitamin C-deficient *Arabidopsis* (*vtc*) mutants. *Plant Molecular Biology*, 2003, 53(6): 837-844
- [32] Thakur N, Flowerika, Chaturvedi S, Tiwari S. Wheat derived glucuronokinase as a potential target for regulating ascorbic acid and phytic acid content with increased root length under drought and ABA stresses in *Arabidopsis thaliana*. *Plant Science*, 2023, 331(3): 111671
- [33] Charalampous F C, Lyras C. Biochemical studies on inositol: IV. conversion of inositol to glucuronic acid by rat kidney extracts. *Journal of Biological Chemistry*, 1957, 228(1): 1-13
- [34] Nascimento D, Conti G, Labate M T V, Gutmanis G, Labate C A. Modulating *Miox2* expression in *Nicotiana tabacum* and impacts on gene involved in cell wall biosynthesis. *Bioenergia em Revista: Diálogos*, 2012, 2(1): 60-84
- [35] Duan J, Zhang M, Zhang H, Xiong H, Liu P, Ali J, Li J, Li Z. *OsMIOX*, a myo-inositol oxygenase gene, improves drought tolerance through scavenging of reactive oxygen species in rice (*Oryza sativa* L.). *Plant Science*, 2012, 196(08): 143-151

- [36] Chen C, Sun X, Duanmu H, Yu Y, Liu A, Xiao J, Zhu Y. Ectopic expression of a *Glycine soja* myo-inositol oxygenase gene (*GsMIOX1a*) in *Arabidopsis* enhances tolerance to alkaline stress. *Public Library of Science One*, 2015, 10(6): e0129998
- [37] Munir S, Mumtaz M A, Ahiakpa J K, Liu G, Chen W, Zhou G, Zheng W, Ye Z, Zhang Y. Genome-wide analysis of myo-inositol oxygenase gene family in tomato reveals their involvement in ascorbic acid accumulation. *BioMed Central Genomics*, 2020, 21(1): 284-298
- [38] Alok A, Kaur J, Tiwari S. Functional characterization of wheat myo-inositol oxygenase promoter under different abiotic stress conditions in *Arabidopsis thaliana*. *Biotechnology Letters*, 2020, 42(10): 2035-2047
- [39] Yang J, Yang J, Zhao L, Gu L, Wu F, Tian W, Sun Y, Zhang S, Su H, Wang L. Ectopic expression of a *Malus hupehensis* Rehd. myo-inositol oxygenase gene (*MhMIOX2*) enhances tolerance to salt stress. *Scientia Horticulturae*, 2021, 281(1): 109898
- [40] Li Z, Liu Z, Wei Y, Liu Y, Xing L, Liu M, Li P, Lu Q, Peng R. Genome-wide identification of the *MIOX* gene family and their expression profile in cotton development and response to abiotic stress. *Public Library of Science One*, 2021, 16(7): e0254111
- [41] Guo W, Yu D, Zhang R, Zhao W, Zhang L, Wang D, Sun Y, Guo C. Genome-wide identification of the myo-inositol oxygenase gene family in alfalfa (*Medicago sativa* L.) and expression analysis under abiotic stress. *Plant Physiol Biochem*, 2023, 200(5): 107787
- [42] Viviani A, Fambrini M, Giordani T, Pugliesi C. L-ascorbic acid in plants: from biosynthesis to its role in plant development and stress response. *Agrochimica Pisa*, 2021, 65(2): 151-170
- [43] Mittler R, Zandalinas S I, Fichman Y, Van Breusegem F. Reactive oxygen species signalling in plant stress responses. *Nature Reviews Molecular Cell Biology*, 2022, 23(10): 663-679
- [44] Lisko K A, Torres R, Harris R S, Belisle M, Vaughan M M, Jullian B, Chevone B I, Mendes P, Nessler C L, Lorence A. Elevating vitamin C content via overexpression of myo-inositol oxygenase and L-gulonolactone oxidase in *Arabidopsis* leads to enhanced biomass and tolerance to abiotic stresses. *In Vitro Cellular & Developmental Biology Plant*, 2013, 49(6): 643-655
- [45] Lorence A, Chevone B I, Mendes P, Nessler C L. Myo-inositol oxygenase offers a possible entry point into plant ascorbate biosynthesis. *Plant Physiol*, 2004, 134(3): 1200-1205
- [46] Rui Y, Dinneny J R. A wall with integrity: surveillance and maintenance of the plant cell wall under stress. *New Phytologist*, 2020, 225(4): 1428-1439
- [47] Zhang B, Gao Y, Zhang L, Zhou Y. The plant cell wall: biosynthesis, construction, and functions. *Journal of Integrative Plant Biology*, 2021, 63(1): 251-272
- [48] Jamet E, Dunand C. Plant cell wall proteins and development. *International Journal of Molecular Sciences*, 2020, 21(8): 2731-2735
- [49] Loewus F A, Kelly S. Inositol metabolism in plants. I. labeling patterns in cell wall polysaccharides from detached plants given myo-inositol-2-t or-2-C<sup>14</sup>. *Archives of Biochemistry and Biophysics*, 1963, 102(1): 96-105
- [50] 周洁, 宋雪晴, 何旭东, 王保松. 柳树 *SjMIPS* 基因的克隆及其表达分析. *江苏林业科技*, 2016, 43(6): 1-5  
Zhou J, Song X Q, He X D, Wang B S. Cloning and expression analysis of *SjMIPS* gene in Willow. *Jiangsu Forestry Science and Technology*, 2016, 43(6): 1-5
- [51] Hu L Y, Zhou K, Liu Y, Yang S L, Zhang J, Gong X Q, Ma F W. Overexpression of *MdMIPS1* enhances salt tolerance by improving osmosis, ion balance, and antioxidant activity in transgenic apple. *Plant Science*, 2020, 301(9): 110654
- [52] Hu L Y, Hong Y, Zhang J Y, Li Y T S, Gong X Q, Zhou K. Overexpression of *MdMIPS1* enhances drought tolerance and water-use efficiency in apple. *Journal of Integrative Agriculture*, 2022, 21(7): 1968-1981
- [53] Tan J, Wang C, Xiang B, Han R, Guo Z. Hydrogen peroxide and nitric oxide mediated cold-and dehydration-induced myo-inositol phosphate synthase that

confers multiple resistances to abiotic stresses. *Plant, Cell & Environment*, 2013, 36(2): 288-299

- [54] Kaur H, Shukla R K, Yadav G, Chattopadhyay D, Majee M. Two divergent genes encoding L-myo-inositol 1-phosphate synthase1 (*CaMIPS1*) and 2 (*CaMIPS2*) are differentially expressed in chickpea. *Plant, Cell & Environment*, 2008, 31(11): 1701-1716
- [55] Sharma N. Wheat myo-inositol phosphate synthase influences plant growth and stress responses via ethylene mediated signaling. *Scientific Reports*, 2020, 10(1): 10766
- [56] Nepal N, Yactayo Chang J P, Medina Jiménez K, Acosta Gamboa L M, González Romero M E, Arteaga Vázquez M A, Lorence A. Mechanisms underlying the enhanced biomass and abiotic stress tolerance phenotype of an *Arabidopsis MIOX* over-expresser. *Plant Direct*, 2019, 3(9): e00165
- [57] Shi F, Dong Y, Wang M, Qiu D. Transcriptomics analyses reveal that *OsMIOX* improves rice drought tolerance by regulating the expression of plant hormone and sugar related genes. *Plant Biotechnology Reports*, 2020, 14(3): 339-349
- [58] 陈林英, 李娃娃, 王 博, 杜婉清, 高梦雪, 刘 慧, 檀淑琴, 邱丽娟, 王晓波. WRKY 转录因子在大豆响应生物和非生物胁迫中的功能研究进展. *植物遗传资源学报*, 2022, 23(2): 323-332
- Chen L Y, Li J J, Wang B, Du W Q, Gao M X, Liu H, Tan S Q, Qiu L J, Wang X B. Research progress on the function of WRKY transcription factor response to biotic and abiotic stresses in soybean. *Journal of Plant Genetic Resources*, 2022, 23(2): 323-332
- [59] Zhao S, Zhang Q, Liu M, Zhou H, Ma C, Wang P. Regulation of plant responses to salt stress. *International Journal of Molecular Sciences*, 2021, 22(9): 4609
- [60] Chen Y, Hoehenwarter W. Changes in the phosphoproteome and metabolome link early signaling events to rearrangement of photosynthesis and central metabolism in salinity and oxidative stress response in *Arabidopsis*. *Plant Physiol*, 2015, 169(4): 3021-3033
- [61] Golani Y, Kaye Y, Gilhar O, Ercetin M, Gillaspay G, Levine A. Inositol polyphosphate phosphatidylinositol 5-phosphatase9 (*At5PTase9*) controls plant salt tolerance by regulating endocytosis. *Molecular Plant*, 2013, 6(6): 1781-1794
- [62] Ozturk M, Turkyilmaz Unal B, Garcia-Caparrós P, Khursheed A, Gul A, Hasanuzzaman M. Osmoregulation and its actions during the drought stress in plants. *Physiol Plant*, 2021, 172(2): 1321-1335
- [63] Perera I Y, Hung C Y, Moore C D, Stevenson-Paulik J, Boss W F. Transgenic *Arabidopsis* plants expressing the type 1 inositol 5-phosphatase exhibit increased drought tolerance and altered abscisic acid signaling. *The Plant Cell*, 2008, 20(10): 2876-2893
- [64] 楚乐乐, 罗成科, 田蕾, 张银霞, 杨淑琴, 李培富. 植物对碱胁迫适应机制的研究进展. *植物遗传资源学报*, 2019, 20(4): 836-844
- Chu L L, Luo C K, Tian L, Zhang Y X, Yang S Q, Li P F. Research advance in plants' adaptation to alkali stress. *Journal of Plant Genetic Resources*, 2019, 20(4): 836-844
- [65] Fang S, Hou X, Liang X. Response mechanisms of plants under saline-alkali stress. *Frontiers in Plant Science*, 2021, 12: 667458
- [66] Kidokoro S, Shinozaki K, Yamaguchi Shinozaki K. Transcriptional regulatory network of plant cold-stress responses. *Trends in Plant Science*, 2022, 27(9): 922-935
- [67] He F Y, Xu J F, Jian Y Q, Duan S G, Hu J, Jin L P, Li G C. Overexpression of galactinol synthase 1 from *Solanum commersonii* (*ScGolS1*) confers freezing tolerance in transgenic potato. *Horticultural Plant Journal*, 2023, 9(3): 541-552
- [68] Endres S, Tenhaken R. Myo-inositol oxygenase controls the level of myo-inositol in *Arabidopsis*, but does not increase ascorbic acid. *Plant Physiology*, 2009, 149(2): 1042-1049
- [69] Ivanov Kavkova E, Blöchl C, Tenhaken R. The Myo-inositol pathway does not contribute to ascorbic acid synthesis. *Plant Biology*, 2019, 21(S1): 95-102